

# Amperometriniu mikrobiojutiklių masyvo modeliavimas

Feliksas IVANAUSKAS (VU, MII), Romas BARONAS (VU),  
Juozas KULYS (VGTU), Mifodijus SAPAGOVAS (MII)\*  
el. paštas: feliksas.ivanauskasmaf.vu.lt

**Reziumė.** Straipsnyje pateikiamas amperometriniu biojutiklių, sudarytų fermento mikroreaktorių masyvo pagrindu, matematinis modelis dvimatėje erdvėje. Modelio pagrindas – difuzijos lygtys su netiesiniu nariu, aprašančiu fermento reakcijos Michaelio–Menteno kinetiką. Suformuluotas uždavinys sprendžiamas baigtinių skirtumų metodu. Kompiuterinis modeliavimas panaudotas fermento mikroreaktorių geometrijos įtakai biojutiklio atsakui ištirti.

*Raktiniai žodžiai:* reakcija-difuzija, matematinis modeliavimas, biojutiklis, mikroreaktorius.

## 1. Įvadas

Biojutikliai – tai įrenginiai, kuriuos sudaro biologiškai aktyvi medžiaga, dažniausiai fermentas, ir elektroninis signalo keitiklis [1]. Fermentui reaguojant su analizuojamuju tirpalu, fiziniai-cheminiai pasikeitimai yra paverčiami elektros signalu, kurio stiprumas priklauso nuo tirpalo koncentracijos. Amperometriniais biojutikliais matuojama srovė, kuri atsiranda dėl biocheminės reakcijos produkto oksidacijos, išlaikant elektrodo potencialą pastoviu. Amperometriniai biojutikliai išsiskiria iš kitų savo patikimumu, pigumu ir dideliu jautriu. Jie plačiai naudojami įvairiausiose analitinėse sistemose [2].

Daugelyje taikymų (narkotikams aptikti, astrobiologijoje ir kitur) biojutikliuose naudojamų fermentų praktiškai neįmanoma gaminti dideliais kiekiais ir jie yra labai brangūs, todėl biojutiklių miniatiūrizacija yra svarbi tyrimų kryptis biotechnologijoje. Tam plačiai taikomi mikroreaktorių masyvai.

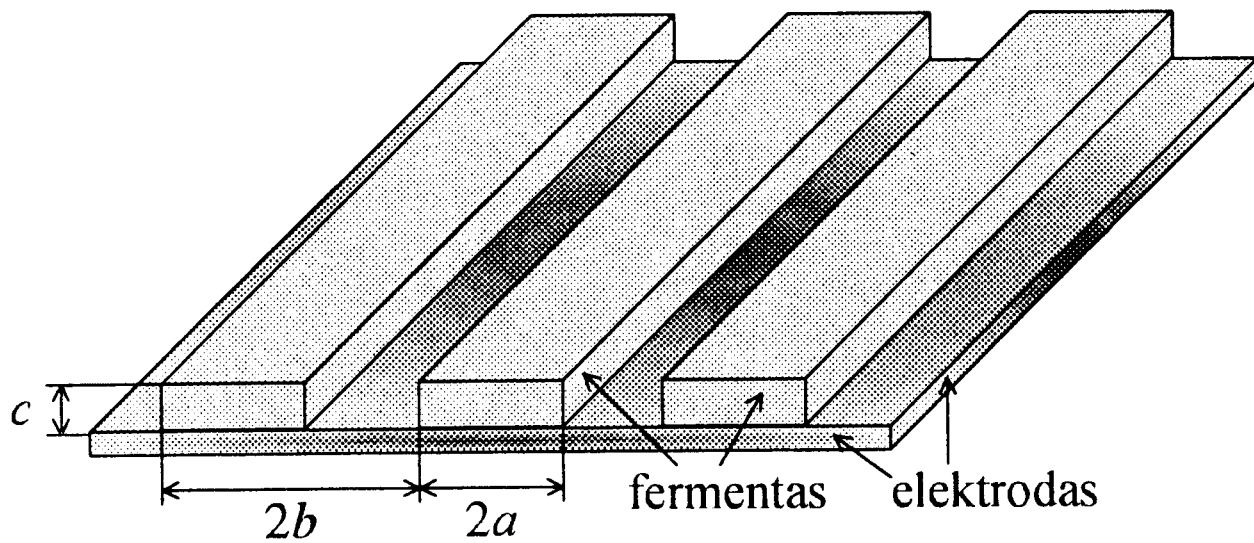
Šio darbo tikslas yra sudaryti amperometriniu biojutiklių, pagamintu fermento mikroreaktorių masyvo pagrindu, matematinį modelį. Modeliuojant biojutiklių veiksmą kompiuteriu, buvo ištirta fermento mikroreaktorių ir difuzijos srities geometrijos įtaka biojutiklių atsakui. Skaitmeninis modeliavimas atliktas naudojant baigtinių skirtumų metodą [3].

## 2. Matematinis modelis

Šiuolaikinės biojutiklių gamybos technologijos leidžia fermentą išdėstyti ant elektrodo paviršiaus pakankamai plonomis, siauromis juostelėmis – mikroreaktoriais. Kad būtų papraščiau, fermento sritį modeliuojame tolygiai pasiskirsčiusiais stačiakampiais gretaseniais (1 pav.).

---

\*Darbą parėmė Lietuvos valstybinis mokslo ir studijų fondas, projektas Nr. C-03048.



1 pav. Biojutiklio sandara.

Tarus, kad biojutiklis yra simetriškas ir medžiagų difuzija vyksta baigtinėje srityje, pakanka nagrinėti vieną dedamąjį dvimatėjė erdvę. Visą analizuojamąją stačiakampę sritį pažymėkime  $\Omega$ , o jos dalių, atitinkančią fermentą, –  $\Omega_0$ . Fermento ir analizuojamojo tirpalio sąlyčio kontūrą pažymėkime  $\Gamma$

$$\begin{aligned}\Omega &= \{(x, z): 0 < x < b, 0 < z < d\}, \\ \Omega_0 &= \{(x, z): 0 < x < a, 0 < z < c\}, \\ \Gamma &= \{(a, z): 0 \leq z \leq c\} \cup \{(x, c): 0 \leq x \leq a\}.\end{aligned}\quad (2.1)$$

Srities  $\Omega$  uždarinys  $\bar{\Omega}$  atitinka biojutiklio dedamosios skersinė pjūvi,  $\bar{\Omega}_0$  – mikroreaktoriaus skersinė pjūvi,  $z = 0$  – elektrodo paviršių ir  $\Gamma$  – fermento išorinių paviršių.

Atsižvelgdami į medžiagų difuziją ir fermentinę reakciją, sudarome reakcijos – difuzijos lygčių sistemą ( $t > 0$ )

$$\begin{aligned}\frac{\partial S_e}{\partial t} &= D_{S_e} \frac{\partial^2 S_e}{\partial x^2} + D_{S_e} \frac{\partial^2 S_e}{\partial z^2} - \frac{V_{max} S_e}{K_M + S_e}, \\ \frac{\partial P_e}{\partial t} &= D_{P_e} \frac{\partial^2 P_e}{\partial x^2} + D_{P_e} \frac{\partial^2 P_e}{\partial z^2} + \frac{V_{max} S_e}{K_M + S_e}, \quad (x, z) \in \Omega_0,\end{aligned}\quad (2.2)$$

$$\begin{aligned}\frac{\partial S_b}{\partial t} &= D_{S_b} \frac{\partial^2 S_b}{\partial x^2} + D_{S_b} \frac{\partial^2 S_b}{\partial z^2}, \\ \frac{\partial P_b}{\partial t} &= D_{P_b} \frac{\partial^2 P_b}{\partial x^2} + D_{P_b} \frac{\partial^2 P_b}{\partial z^2}, \quad (x, z) \in \Omega \setminus \bar{\Omega}_0,\end{aligned}\quad (2.3)$$

čia  $S_e(x, z, t)$ ,  $S_b(x, z, t)$  ( $P_e(x, z, t)$ ,  $P_b(x, z, t)$ ) yra substrato (reakcijos produkto) koncentracijos fermente ir jo išorėje,  $D_{S_e}$ ,  $D_{S_b}$ ,  $D_{P_e}$  ir  $D_{P_b}$  yra difuzijos koeficientai,  $V_{max}$  – maksimalusis fermentinės reakcijos greitis,  $K_M$  yra Michaelio konstanta [4].

Biojutiklis pradeda veikti panardinus jį į substratą – analizuojamąjį tirpalą. Tai atsispindi pradinėse sąlygose ( $t = 0$ )

$$\begin{aligned}S_e(x, z, 0) &= 0, \quad P_e(x, z, 0) = 0, \quad (x, z) \in \bar{\Omega}_0 \setminus \Gamma, \\ S_e(x, z, 0) &= S_0, \quad P_e(x, z, 0) = 0, \quad (x, z) \in \Gamma,\end{aligned}\quad (2.4)$$

$$S_b(x, z, 0) = S_0, \quad P_b(x, z, 0) = 0, \quad (x, z) \in \overline{\Omega} \setminus \Omega_0,$$

čia  $S_0$  yra substrato koncentracija.

Biojutiklio simetrija yra išreiškiama kraštinėmis sąlygomis ( $t > 0$ )

$$\begin{aligned} \frac{\partial S_e}{\partial x} \Big|_{x=0} &= \frac{\partial P_e}{\partial x} \Big|_{x=0} = 0, \quad z \in [0, c], \\ \frac{\partial S_b}{\partial x} \Big|_{x=0} &= \frac{\partial P_b}{\partial x} \Big|_{x=0} = 0, \quad z \in [c, d], \\ \frac{\partial S_b}{\partial x} \Big|_{x=b} &= \frac{\partial P_b}{\partial x} \Big|_{x=b} = 0, \quad z \in [0, d]. \end{aligned} \quad (2.5)$$

Dėl elektrodo poliarizacijos, reakcijos produkto koncentracija elektrodo paviršiuje išlieka lygi nuliui. Substratas nereaguoja elektrodo paviršiuje. Tai atispindi kraštinėse sąlygose ( $t > 0$ )

$$\begin{aligned} P_e(x, 0, t) &= 0, \quad \frac{\partial S_e}{\partial z} \Big|_{z=0} = 0, \quad x \in [0, a], \\ P_b(x, 0, t) &= 0, \quad \frac{\partial S_b}{\partial z} \Big|_{z=0} = 0, \quad x \in [a, b], \\ P_b(x, d, t) &= 0, \quad S_b(x, d, t) = S_0, \quad x \in [0, b]. \end{aligned} \quad (2.6)$$

Paviršiuje  $\Gamma$  apibrėžiame suderinamumo sąlygas ( $t > 0$ )

$$\begin{aligned} D_{S_e} \frac{\partial S_e}{\partial n} \Big|_{\Gamma} &= D_{S_b} \frac{\partial S_b}{\partial n} \Big|_{\Gamma}, \quad D_{P_e} \frac{\partial P_e}{\partial n} \Big|_{\Gamma} = D_{P_b} \frac{\partial P_b}{\partial n} \Big|_{\Gamma}, \\ S_e|_{\Gamma} &= S_b|_{\Gamma}, \quad P_e|_{\Gamma} = P_b|_{\Gamma}, \end{aligned} \quad (2.7)$$

čia  $n$  žymi normalės kryptį.

Ypatinguoju atveju, kai  $a = b$ , modelis (2.2)–(2.7) išreiškia visiškai plokščio biosensoriaus veiksmą [1,4].

Tariame, kad sistema (2.2)–(2.7) pasiekia pusiausvyrą. Matuojamosios biojutiklio srovės stiprumo tankį  $i(t)$  ir pusiausvirają srovę (biojutiklio atsaką)  $i_{\infty}$  galima išreiškti taip

$$i(t) = \frac{n_e F}{b} \left( D_{P_e} \int_0^a \frac{\partial P_e}{\partial z} \Big|_{z=0} dx + D_{P_b} \int_a^b \frac{\partial P_b}{\partial z} \Big|_{z=0} dx \right), \quad i_{\infty} = \lim_{t \rightarrow \infty} i(t), \quad (2.8)$$

čia  $n_e$  – elektronų skaičius,  $F$  – Faradėjaus konstanta.

Lygtis (2.2)–(2.7) sprendėme baigtinių skirtumų metodu [3]. Analizuojamają sritį  $\overline{\Omega}$  suskaidėme tolygiai visomis trimis kryptimis:  $x$ ,  $z$  ir  $t$ . Naudodami kintamų krypčių metodą, skaičiavimams atlikti sudarėme neišreikštinę skirtuminę schemą.

### 3. Skaičiavimų rezultatai

Panaudojant skaitinį modelį, ištyrėme fermento geometrijos įtaką biojutiklių atsakui. Skaičiavimuose buvo keičiamos visų trijų fermento geometrijos parametru  $a$ ,  $b$  ir  $c$  reikšmės. Tarus, kad analizuojamas tirpalas yra aktyviai maišomas, difuzijos sluo-ksnio, esančio virš fermento, storį  $\delta_N = d - c$  laikėme praktiskai minimaliu [1, 2]. Norėdami palyginti biojutiklių, sudarytų mikroreaktorių pagrindu ( $a < b$ ), atsaką su analogiškų plokščiųjų biojutiklių ( $a = b$ ) atsaku, pusiausvirają srovę normavome

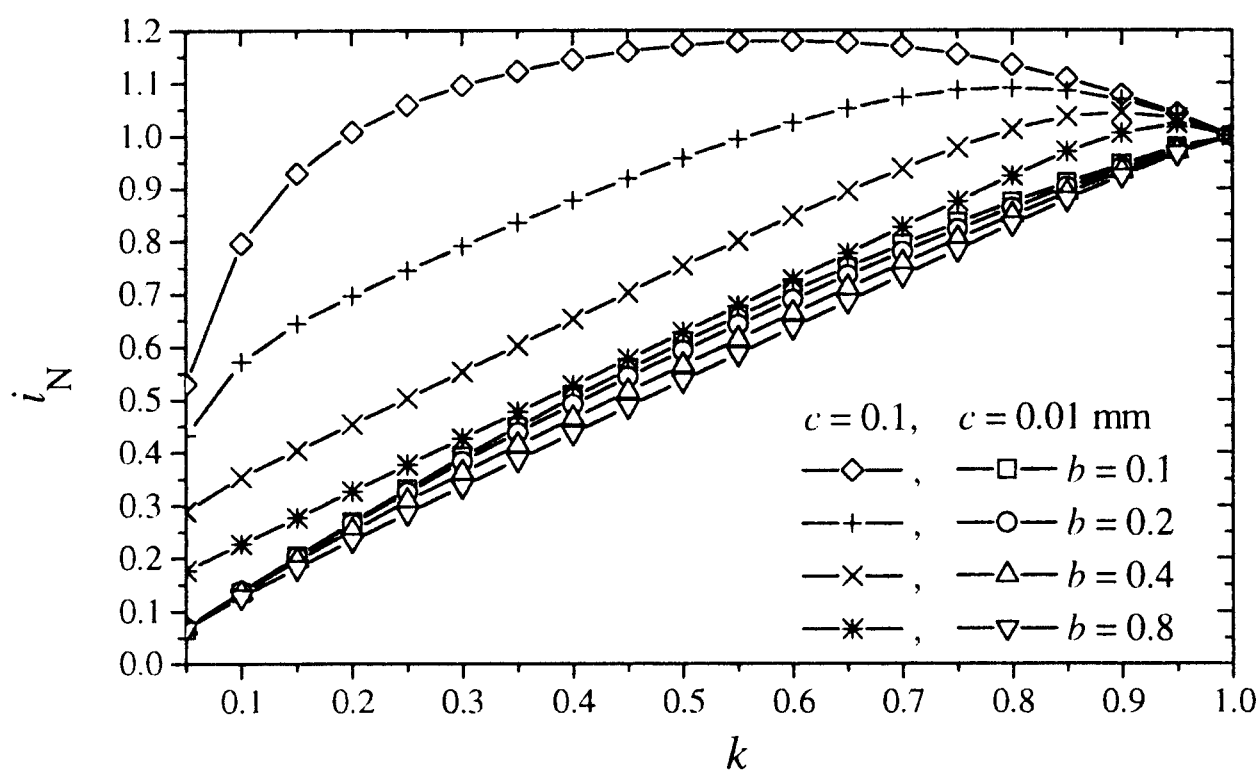
$$i_N(k) = \frac{i_\infty(k)}{i_\infty(1)}, \quad k = a/b, \quad 0 < k \leq 1, \quad (3.1)$$

čia  $i_\infty(k)$  yra pusiausviroji srovė, apskaičiuota kai  $a$  ir  $b$  santykis lygus  $k$ ,  $i_N$  – normuotoji srovė,  $k$  – santykinis fermento juostelių plotis. Mikroreaktorių geometrijos įtaką tyrėme įvairioms  $V_{max}$  ir  $S_0$  reikšmėms. Kitų parametru reikšmės nekito:

$$\begin{aligned} D_{S_e} = D_{P_e} &= 300 \mu\text{m}^2/\text{s}, & D_{S_b} &= 2D_{S_e}, & D_{P_b} &= 2D_{P_e}, \\ K_M &= 0,1 \text{ mol/m}^3 = 100 \mu\text{M}, & \delta_N &= d - c = 0,02 \text{ mm}, & n_e &= 2. \end{aligned} \quad (3.2)$$

Skaičiavimų rezultatai pavaizduoti 2 pav., kai  $V_{max} = 100 \mu\text{M}/\text{s}$ ,  $S_0 = 20 \mu\text{M}$ . Kadangi amperometrinį biojutiklių atsaką labai priklauso nuo fermento reakcijos ir difuzijos greičių santykio (difuzijos modulio  $\sigma$ ) [4], tai skaičiavimus atlikome dviems  $c$  reikšmėms: 0,01 ir 0,1 mm. Kai  $c = 0,1$  mm, tai biojutiklio atsaką lémė difuzija ( $\sigma > 1$ ), o kai  $c = 0,01$  mm – fermentinė reakcija ( $\sigma < 1$ ).

Kaip matyti iš 2 pav., kai  $c = 0,01$  mm, pusiausviroji srovė  $i_\infty$  yra monotoniskai didėjanti santykinio fermento juostelių pločio  $k$  funkcija. Kai  $c = 0,1$  mm, srovės funkcija  $i_\infty(k)$  yra nemonotoninė. Vadinas, kai biojutiklio atsake dominuoja difuzija, pusiausviroji srovė gali būti didesnė už atitinkamo plokščiojo biojutiklio ( $k = 1$ ) pusiausvirają srovę.



2 pav. Pusiausviroios srovės  $i_\infty$  priklausomybė nuo santykinio fermento juostelių pločio  $k = a/b$ .

Fermento kiekis, tenkantis elektrodo ploto vienetui, yra proporcingas  $kc$ . Esant pastoviam  $c$ , kai biojutiklio atsaką nulemia difuzija, pasinaudojant skaitiniais eksperimentais, galima parinkti tokią biojutiklio geometriją ( $k$ ), kad pusiausviroji srovė būtų kiek galima didesnė, o fermento būtų sunaudojama kiek galima mažiau. Sunaudojant mažesnį kiekį fermento, galima gauti netgi didesnį biojutiklio atsaką. Kuo didesnę srovę generuoja biojutiklis, tuo jis yra jautresnis. Jautris yra viena iš svarbiausių biojutiklų charakteristikų. Ištisiame fermento sluoksnyje, darant vis dažnesnias išilgines išpjovas (1 pav.), taip paliekant ant elektrodo vis mažesnį fermento kiekį, galima didinti biojutiklio jautrį.

Esant pastoviems  $k$  ir  $c$ , parametru  $a$  ir  $b$  keitimas neįtakoja fermento sąnaudų, keičiasi tik fermento juostų plotis ir jų dažnis. Kaip matyti iš 2 pav., praktiskai visoms  $k$  reikšmėms ( $0,1 < k < 1$ ), mažėjant  $b$ , srovė  $i_\infty$  didėja. Tai reiškia, kad biojutiklio atsakui įtaką daro ne tik iškilių tūris, bet ir jų forma. Ši įtaka ypač ženkli, kai biojutiklio atsaką lemia difuzija.

Papildomais skaitiniais eksperimentais buvo nustatyta, kad biojutiklio elgsenos dėsningumai išlieka ir prie kitų, būdingų biojutikliams  $V_{max}$ ,  $S_0$  ir  $c$ , reikšmių.

## Išvados

Matematinių modelių (2.2)–(2.7) galima taikyti amperometrinių biojutiklių, sudarytų fermento mikroreaktorių masyvo pagrindu, kinetikos dėsningumams tirti.

Modeliuojant biojutiklio veiksmą kompiuteriu, galima parinkti fermento srities geometriją ir jo išdėtymą elektrodo paviršiuje, užtikrinant pakankamai aukštą biojutiklio jautrį ir mažas fermento sąnaudas. Ypač efektyviai fermento sąnaudas galima mažinti, kai biojutiklio atsaką apsprendžia medžiagų difuzija.

## Literatūra

1. F. Scheller, F. Schubert, *Biosensors*, Elsevier, Amsterdam (1992).
2. U. Wollenberger, F. Lisdat, F.W. Scheller, *Frontiers in Biosensorics 2, Practical Applications*, Birkhauser Verlag, Basel (1997).
3. A.A. Samarskii, *Theory of Difference Schemes*, Nauka, Moskow (1988).
4. R. Baronas, F. Ivanauskas, J. Kulys, The influence of the enzyme membrane thickness on the response of amperometric biosensors, *Sensors*, 3, 248–262 (2003).

## SUMMARY

**F. Ivanauskas, R. Baronas, J. Kulys, M. Sapagovas.** Modeling of an array of amperometric microbiosensors

This paper presents a two-dimensional-in-space mathematical model of a sensor system based on an array of enzyme microreactors immobilised on a single electrode. The model is based on the diffusion equations containing a non-linear term related to the Michaelis–Menten kinetics of the enzymatic reaction. Using computer simulation the influence of the geometry of the enzyme microreactors on the biosensor response was investigated. The digital simulation was carried out using the finite difference technique.

**Keywords:** reaction-diffusion, mathematical modelling, biosensor, microreactor.